

تحلیلی بر رخساره‌های الکتریکی، واحدهای جریانی و بررسی توان مخزنی سازند می‌شیریف (سنومانین - تورونین) در میدان نفتی اسفند، خلیج فارس

کیامرث حسینی^۱، پیمان رضائی^{۲*} و سجاد کاظم شیرودی^۳

۱- دانشآموخته کارشناسی ارشد زمین‌شناسی، دانشکده علوم پایه، دانشگاه هرمزگان، بندرعباس

۲- دانشیار گروه زمین‌شناسی، دانشکده علوم پایه، دانشگاه هرمزگان، بندرعباس

۳- دکترا زمین‌شناسی، شرکت نفت فلات قاره ایران

نویسنده مسئول: p.rezaee@hormozgan.ac.ir

نوع مقاله: پژوهشی

دریافت: ۹۸/۸/۱۱ پذیرش: ۹۸/۱۲/۱۹

چکیده

سازند می‌شیریف یکی از مهم‌ترین مخازن نفتی حوضه خلیج فارس است. در این پژوهش از داده‌های تخلخل، تراوایی و لاغهای پتروفیزیکی به ترتیب به منظور تعیین واحدهای جریانی و رخساره‌های الکتریکی مخزن می‌شیریف در دو چاه میدان نفتی اسفند استفاده گردیده است. با استفاده از تحلیل داده‌های پتروفیزیکی با روش $MRCG$ سه رخساره الکتریکی (EF) تشخیص داده شد. رخساره $EF1$ بهترین خصوصیات مخزنی را نشان می‌دهد و به طور عمده دارای نهشت‌های پشت‌کربناته است، در صورتی که رخساره $EF3$ با ضعیفترین خصوصیات مخزنی دارای نهشت‌های دریای باز و لاغون است. تحلیل داده‌های تخلخل - تراوایی نیز منجر به شناسایی^۴ واحد هیدرولیکی با استفاده از شاخص FZI گردید. واحد $HFU1$ با ضعیفترین وضعیت مخزنی به طور عمده با رخساره‌های محیط پشت‌کربناته، لاغون و پهنه جزو‌مدی مشخص می‌شود، اما واحد $HFU4$ با بهترین وضعیت مخزنی دارای رخساره‌های محیط‌های لاغون، پشت‌کربناته و دریای باز است. رخساره الکتریکی $EF1$ معادل واحد جریانی $HFU2$ و رخساره الکتریکی $EF3$ نیز معادل واحد جریانی $HFU1$ است. هم‌چنین واحد جریانی $HFU4$ معادل رخساره الکتریکی $EF1$ و $EF2$ می‌باشد. مطالعه توان مخزنی سازند می‌شیریف بر مبنای شاخص RPI نیز نشان از وضعیت پیچیده مخزنی آن دارد. بر مبنای این شخص، مخزن می‌شیریف در دو چاه تحت بررسی به طور میانگین در رده متوسط و ضعیف قرار می‌گیرد. فرآیندهای رسوبی و دیاپنزی اثرهای پیچیده‌ای بر روی توالی مخزن و پارامترهای مخزنی آن داشته است؛ مطالعه رخساره‌های الکتریکی در کنار واحدهای جریانی توانایی تفکیک افق‌های مخزنی را افزایش می‌دهد.

واژه‌های کلیدی: رخساره الکتریکی، واحد جریانی، توان مخزنی، سازند می‌شیریف، میدان نفتی اسفند

۱- پیشگفتار

اینکه بیانگر نوع سنگ‌شناسی مخزن هستند، خصوصیات پتروفیزیکی و مخزنی (تخلخل و تراوایی) را نیز توصیف می‌کنند، به عبارت دیگر تعیین گونه سنگی مخزنی یک فرآیند ارتباط‌دهنده بین زمین‌شناسی و پتروفیزیک است (ربل و همکاران، ۲۰۰۹). از این‌رو در پژوهش حاضر از بین روش‌های مختلف راک- تایپینگ روی واحدهای جریانی تمرکز شده است. تعیین واحدهای جریانی و رخساره‌های الکتریکی دو روش مهم و رایج در ارزیابی مخازن هیدرولیکی می‌باشند واحد جریانی سیال، ابزار قدرتمندی در تقسیم‌بندی مخزن به واحدهای جریانی بوده که ساختار درونی مخزن را در مقیاسی سازگار با مدل‌سازی شبیه‌سازی مخزن تقریب می‌زند (عباس‌زاده و همکاران، ۱۹۹۶)، درک رابطه بین تخلخل و تراوایی برای درک و ارزیابی عملکرد مخزن بسیار ضروری است (بلوچ

یکی از مسائل کلیدی در ارزیابی مخازن هیدرولیکی استفاده از داده‌ها برای پیش‌بینی خواص پتروفیزیکی مانند تخلخل و نفوذپذیری است (باقری و همکاران، ۲۰۱۳؛ باقری و ریاحی، ۲۰۱۵). در واقع از مشخصه‌های مهم در مطالعه مخزن ارائه طرحی مشخص از توزیع خصوصیات مخزنی است. بر همین اساس بهره‌گیری از روش‌های جدید به منظور درک بهتر ناهمگنی‌های مخزنی ضروری است. تعیین گونه‌های سنگی نقش اساسی در سرنشت نمایی مخزن دارد. گونه‌های سنگی از جمله خصوصیات مخزن می‌باشند که به منظور تطبیق چاهها و قسمت‌های تولیدی مخزن به کار می‌روند و مهم‌ترین قطعه اطلاعاتی، ساخت مدل‌های سه‌بعدی زمین‌شناسی مخزن هستند. گونه‌های سنگی علاوه بر

و تفسیر واحدهای جریانی در کنار رخساره‌های الکتریکی، طبقه‌بندی کیفی مخزن می‌شریف بر حسب فاکتورهای مختلف مخزنی ارائه گردد. بی‌شک یافته‌های این پژوهش می‌تواند کمک شایانی به مدل‌سازی مخزنی هرچه بهتر مخزن می‌شریف در میدان مذکور نماید.

۲- موقعیت جغرافیایی و زمین‌شناسی

حوضه خلیج فارس بیش از نیمی از ذخایر نفت و گاز طبیعی کل جهان را به خود اختصاص داده است (ربانی، ۲۰۰۷). در تمام ناحیه خلیج فارس توالی‌های رسوبی کرتاسه از لحظه نفتی در درجه اول اهمیت قرار دارند (غضبان، ۲۰۰۷). میدان نفتی سیری اسفند در بخش ایرانی خلیج فارس، مجاور مرز آبی ایران-دبی و در ۹۰ کیلومتری سواحل ایران واقع شده است. این میدان تقریباً در فاصله ۲۰ کیلومتری جنوب رقی جزیره سیری قرار دارد (شکل ۱). میدان نفتی سیری اسفند یک ساختمان طاقدیسی است که تا اندازه‌ای در امتداد یک محور شمال-شمال‌شرقی، جنوب-جنوب‌غربی کشیده شده است (شکل ۱) (گزارش شرکت نفت فلات قاره، ۲۰۰۷؛ ربانی، ۲۰۰۷). سازند سروک کرتاسه میانی (سنومانین-تورونین) مهم‌ترین مخزن کربناته ایران در این میدان است (بیرانوند، ۲۰۰۷). این سازند از نظر چینه‌شناسی در فارس ساحلی و شمال خلیج فارس با واحدهای معادل کرتاسه میانی گروه واسیا (مودود، احمدی و می‌شریف) در جنوب خلیج فارس و سازندهای وارا، احمدی و می‌شریف در عراق و عربستان سعودی معادل است. در کرتاسه میانی سازند سروک از پایین به بالا به سه ممبر مودود، خاتیا و می‌شریف تقسیم می‌شود (گزارش شرکت نفت فلات قاره، ۲۰۰۷؛ الشرحان و کن达尔، ۱۹۹۱) (شکل ۲). سن سازند می‌شریف در خلیج فارس سنومانین بالایی-تورونین می‌باشد (فرزادی، ۲۰۰۶a). تنوع رخساره‌ای همراه با ناپیوستگی تورونین کنترل‌کننده اصلی کیفیت مخزنی این سازند در خلیج فارس بوده‌اند (فرزادی، ۲۰۰۶a).

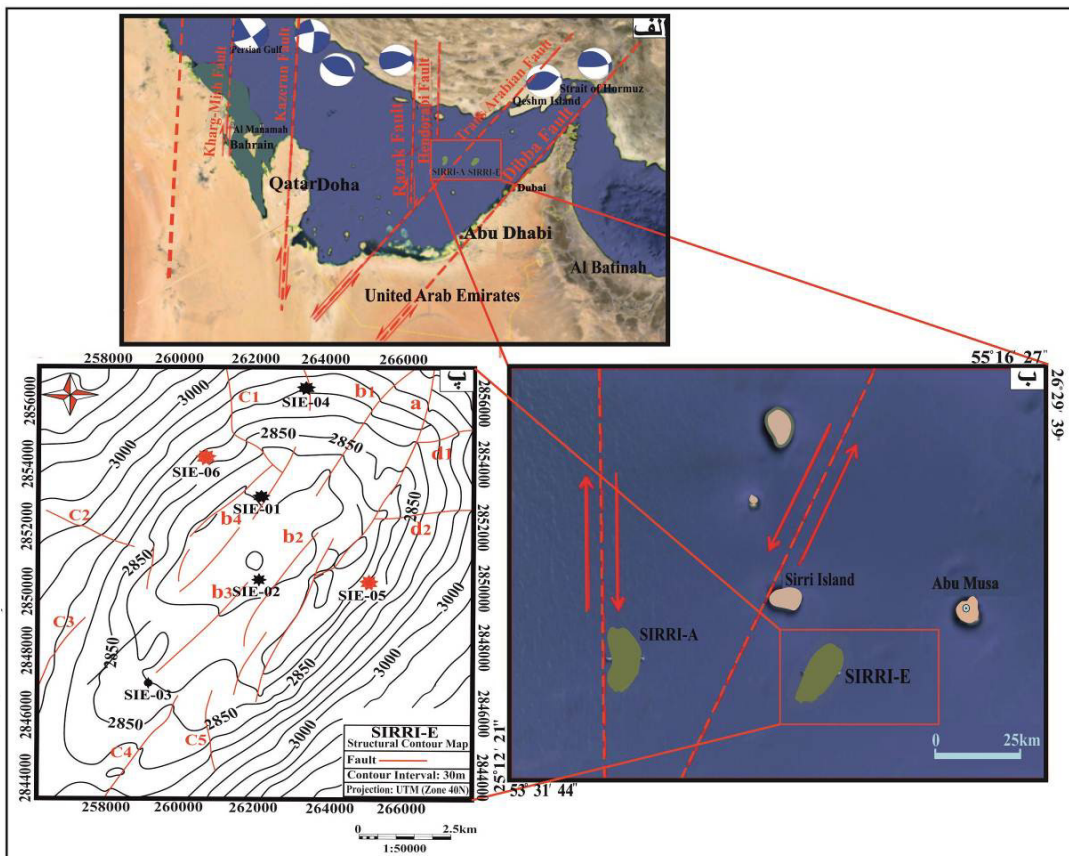
۳- روش مطالعه

در این پژوهش در مجموع از ۵۸۰ داده تخلخل و تراوایی در دو چاه SIE-5 و SIE-6 برای تعیین واحدهای جریانی

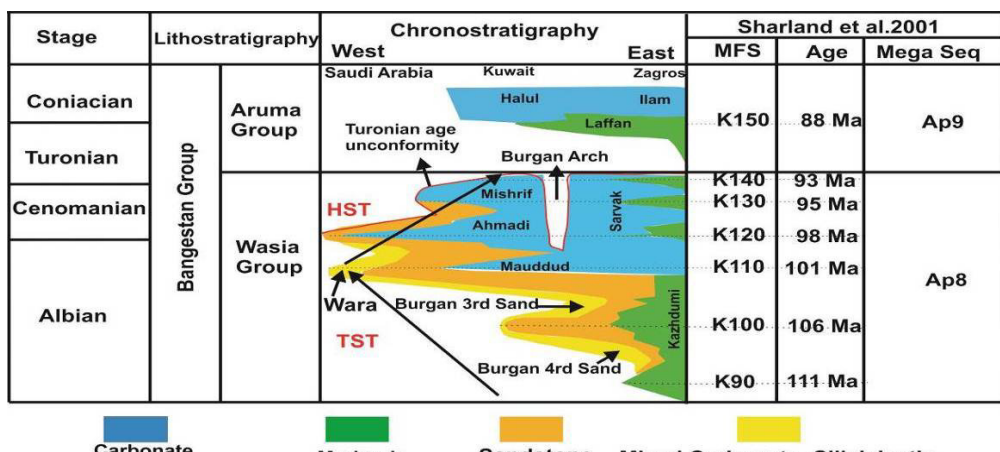
و بنزاگوتا، ۲۰۱۹). تعیین گونه‌های سنگی و تعیین واحدهای جریانی باعث می‌شود تا قسمت‌هایی که خواص مخزنی و رفتار هیدرولیکی مشابهی دارند شناسایی شوند (بلوچچ و بنزاگوتا، ۲۰۱۹). شناسایی و تعیین واحدهای جریانی در سنگ‌های کربناته به دلیل فرآیندهای دیابتزی پیچیدگی زیادی دارد (نباوی و کساب، ۲۰۱۴؛ ریاضی، ۲۰۱۸؛ باقری و رضایی، ۲۰۱۹). تعیین واحدهای جریانی با روش‌های مختلفی امکان‌پذیر است. تعیین این واحدها بر اساس مفهوم *RQI* و *FZI* توسط پژوهشگران بسیاری پیشنهاد و انجام شده است (تیاب و دونالدسون، ۱۹۹۶؛ عباس‌زاده و همکاران، ۱۹۹۶؛ کوربت و پوتر، ۲۰۰۴؛ الذفری و ناصرالدین، ۲۰۰۷؛ گائو و همکاران، ۲۰۰۷؛ ته و همکاران، ۲۰۱۲؛ عابد، ۲۰۱۴؛ الشراوی و نباوی، a، ۲۰۱۶؛ نباوی و باراکات، ۲۰۱۷؛ نباوی و همکاران، ۲۰۱۸). از جمله پژوهش‌های فارسی بر روی واحد جریانی نیز می‌توان به پژوهش‌های جدیری‌آقایی و همکاران (۱۳۹۶)، اسعده و همکاران (۱۳۹۵)، سلیمانی و همکاران (۱۳۹۵) و کدخایی ایلخچی و همکاران (۱۳۹۳) اشاره کرد. رخساره‌های الکتریکی^۱ عبارت است از مجموعه پاسخ‌های لاغ که مشخص‌کننده یک یا چند لایه یا چینه بوده و باعث تفکیک آن از لایه‌ها یا چینه‌های دیگر می‌گردد (سراء، ۱۹۸۸؛ داویس، ۲۰۱۸). مفهوم رخساره‌های الکتریکی گروه‌بندی داده‌ها با توجه به تشابه‌های پتروفیزیکی است که موجب می‌شود یک مجموعه از داده‌های لاغ‌های پتروفیزیکی به واحدهای رخساره‌های الکتریکی دسته‌بندی شوند و با داده‌های مغزه قابل قیاس هستند (استینکو، ۲۰۰۶؛ داوتون، ۲۰۱۴؛ الشراوی و نباوی، b). تعیین رخساره‌های الکتریکی توسط محققان زیادی مانند محسنی‌پور و همکاران (۱۳۹۵)، جمشیدی و همکاران (۱۳۹۵)، سلیمانی و همکاران، (۱۳۹۵)، (سلیمانی و همکاران، ۲۰۱۸)، اقبال کیانی و همکاران (۱۳۹۵)، جدیری‌آقایی و همکاران (۱۳۹۶) و جوپیاری و رضائی (۱۳۹۶) مورد پژوهش قرار گرفت. هدف از این پژوهش بررسی رخساره‌های الکتریکی و واحدهای جریانی در مقایسه با رخساره‌های رسوبی سازند کربناته می‌شریف (سنومانین-تورونین) و بررسی توان مخزنی این سازند در میدان نفتی اسفند می‌باشد. در این پژوهش سعی شده ضمن مقایسه

زون جریان FZI انجام شد. برای تعیین خوشبندی و داده‌های پتروگرافی مقایسه گردید و در پایان رخسارهای الکتریکی به دست آمده همراه واحدهای جریانی محاسبه شده در برابر سایر لاغها و ریز رخسارهای سنگی و ستون هیدروکربن به صورت قائم قرار گرفت.

استفاده شد. تعیین واحدهای جریانی با روش شاخص GR، رخسارهای الکتریکی به روش MRGC از لاغهای DT استفاده گردید. این مدل‌سازی توسط نرم‌افزار ژئولوگ انجام شد. داده‌های پتروگرافی این پژوهش نیز برگرفته از پژوهش حسینی (۱۳۹۸) می‌باشد. در ادامه واحدهای جریانی با رخسارهای الکتریکی و



شکل ۱. الف و ب: موقعیت جغرافیایی میدان نفتی سیری E (اسفند) در خلیج فارس، ب: موقعیت دو چاه مورد مطالعه در میدان نفتی اسند (با تغییراتی از ربانی، ۲۰۰۷).



شکل ۲. توالی گرتاسه میانی (آلبین-کوئیاپین) زاگرس و صفحه عربی برگرفته از شارلن و همکاران، ۱۳۹۱؛ هالیس و همکاران، ۲۰۱۰.

(متیسون و همکاران، ۲۰۰۱؛ لی و همکاران، ۲۰۰۲؛ بیلمن و همکاران، ۲۰۰۳؛ پرز و همکاران، ۲۰۰۵). روش *MRGC* یک روش نوین و قدرتمند برای دسته‌بندی داده‌ها است این روش مبتنی بر تشخیص الگوی نقطه‌ای چند بعدی بر مبنای نزدیکترین همسایگی و نمایش گرافیکی داده‌ها می‌باشد. این الگوریتم اطلاعات مفیدی در مورد رخساره‌های زمین‌شناسی از ساختار خود داده‌های ورودی به دست می‌آورد (هولاند، ۲۰۰۶). در روش مورد بحث بعد از مدل توزیع ورودی‌های لاغ (شکل ۴) خوشبندی با استفاده از نرم‌افزار ژئولاگ انجام می‌گیرد و خوشه‌هایی توسط نرم‌افزار پیشنهاد می‌گردد. از بین خوشه‌های پیشنهادی، مدل ۳ رخساره الکتریکی به دلیل شباهت و هموارانی بیشتر آن با داده‌های حاصل از مطالعه مغزه و پتروگرافی انتخاب گردید (شکل ۵ و جدول ۲).

EFI: این رخساره الکتریکی دارای بهترین مشخصه‌های پتروفیزیکی می‌باشد. عده ریزرخساره‌هایی که در این رخساره الکتریکی نهشته شده‌اند در چاه-۵ *SIE-5* به ترتیب شامل *MF16* و *MF17* و در چاه-۶ *SIE-6* *Niz* شامل *MF15* و *MF9* می‌باشد (شکل ۶). نهشته‌های رخساره‌های الکتریکی *EFI* در چاه-۵ *SIE-5* عمده‌تاً در زیر محیط پشته کربناته و بعد از آن لاغون و در چاه-۶ *SIE-6* در زیر محیط پشته کربناته و لاغون با نسبت تقریباً مساوی نهشته شده‌اند (شکل ۷). به نظر می‌رسد وجود فرآیندهای انحلال و ایجاد تخلخل‌های بهم پیوسته باعث شده تا این رخساره الکتریکی وضعیت مخزنی خوبی داشته باشد.

EF2: این رخساره الکتریکی به لحاظ مشخصه‌های مخزنی در رده دوم می‌باشد. عده ریزرخساره‌های آن به ترتیب در چاه-۵ *SIE-5* در *MF3* و در چاه-۶ *SIE-6* *Niz* شامل *MF12* و *MF11* می‌باشد (شکل ۶). زیرمحیط‌های این رخساره الکتریکی *Niz* در چاه-۵ *SIE-5* عمده‌تاً پهنه کشیدی و لاغون و در چاه-۶ *SIE-6* *Niz* لاغون می‌باشد (شکل ۷). به نظر می‌رسد بر مبنای زیرمحیط رسوبی رخساره *EF2* در هر دو چاه مانند رخساره *EFI* هموارانی قابل قبولی دارد.

EF3: رخساره الکتریکی *EF3* به لحاظ مخزنی ضعیفترین مشخصه‌های پتروفیزیکی را دارد. ریزرخساره‌های این رخساره الکتریکی به ترتیب فراوانی در چاه-۵ *SIE-5* شامل *MF6* و *MF15* و در چاه-۶ *SIE-6* *MF10* و *MF10* می‌باشد.

۴- بحث

۴-۱- ریزرخساره‌ها و شرایط تهنشینی

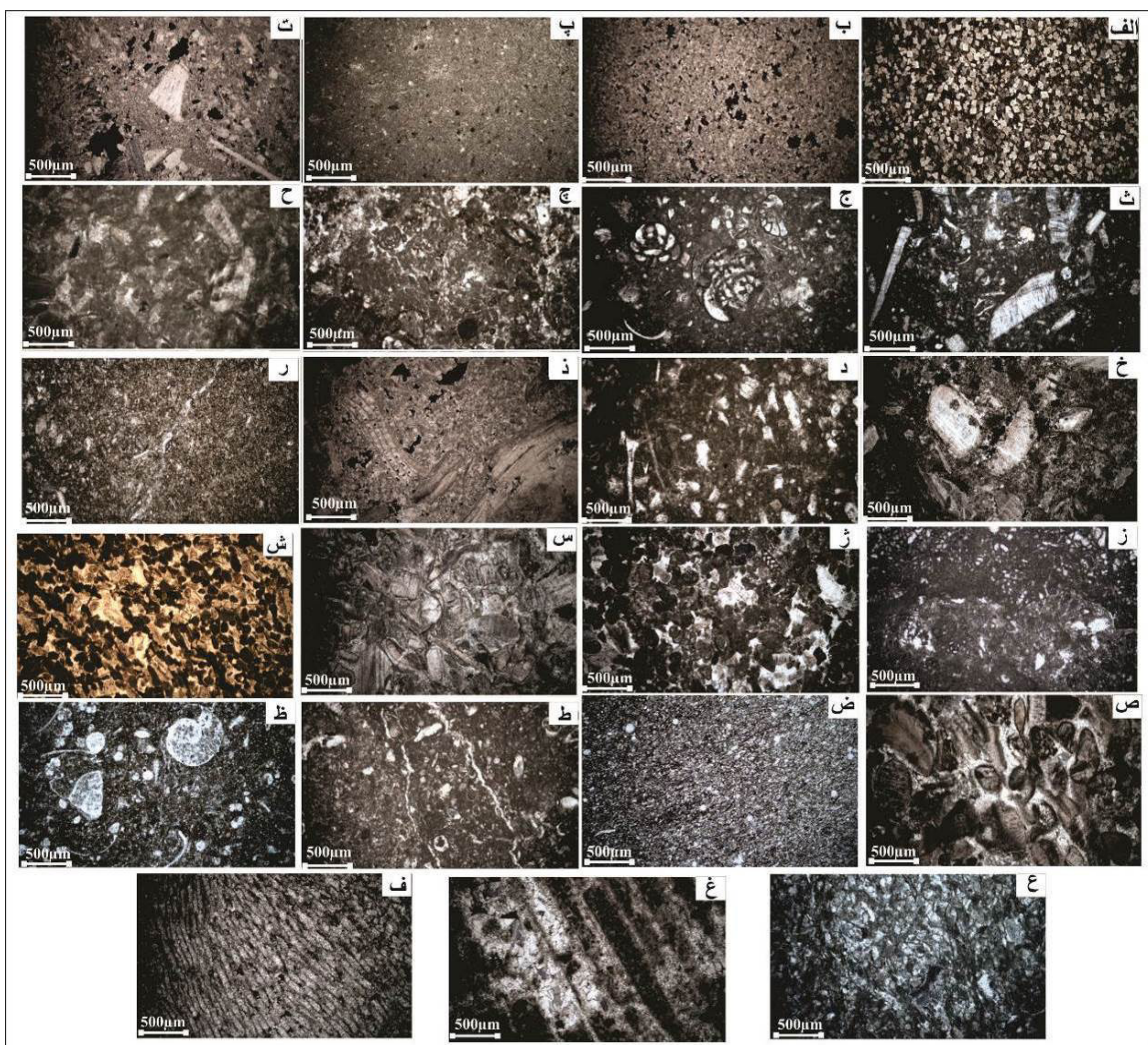
مطالعات پتروگرافی بر روی برش‌های نازک میکروسکوپی متعلق به چهار چاه مخزن می‌شريف منجر به تشخیص ۲۲ ریزرخساره گردید (حسینی، ۱۳۹۸) که این ریزرخساره‌ها به همراه توضیحات مربوطه در جدول ۱ و شکل ۳ ارائه شده‌اند. بررسی مجموعه ریزرخساره‌های سازند می‌شريف در میدان نفتی اسفند و مقایسه آن با کمریندهای ریزرخساره‌های استاندارد، نشان می‌دهد که این سازند تحت شرایط محیط یک رمپ کربناته تک شیب یا هموکلینال نهشته شده است (حسینی، ۱۳۹۸). مشابه این محیط را برای سازند می‌شريف و نهشته‌های (سنومانیں آغازین- تورونین) در خلیج‌فارس، پژوهشگران دیگری از جمله خانجانی و همکاران (۱۵) شاهوردی و همکاران (۱۵، ۲۰۱۶) و در زاگرس نیز امیدوار و همکاران (۲۰۱۴) معرفی کردند. حسینی و همکاران (۱۳۹۸)، در پژوهشی تحت عنوان بررسی ارتباط ریزرخساره‌ها، محیط‌رسوبی، دیاژنز و کیفیت مخزنی سازند می‌شريف (سنومانیں آغازی- تورونین) در میدان نفتی اسفند (سیری *E*، شمال خاوری خلیج‌فارس، اذغان داشتند که مهم‌ترین عوامل دیاژنتیکی در سازند می‌شريف اتحلال، سیمانی شدن، دولومیتی شدن، استیلولیتی شدن، آشفتگی زیستی، پیریتی شدن، هماتیتی شدن، نوشکلی و شکستگی و پرشدگی می‌باشد. اتحلال و دولومیتی شدن و شکستگی از مهم‌ترین عوامل مؤثر بر افزایش مقادیر کلی تخلخل بوده و این فرآیندها باعث ایجاد تخلخل‌های بین‌بلورین، حفره‌ای و شکستگی به مقدار زیاد در میدان شده و تأثیر مثبتی بر روند افزایش کیفیت مخزنی داشته است. لازم به ذکر است که داده‌های تخلخل و تراوایی ۱۷ ریزرخساره از جدول ۱ که در چاه‌های ۵ *SIE-5* و ۶ *SIE-6* شناسایی شده‌اند در این پژوهش در دسترس بوده و در ادامه باز رخساره‌های الکتریکی و واحدهای جریانی مقایسه می‌شوند.

۴-۲- رخساره‌های الکتریکی

تهیه مدل رخساره‌های الکتریکی از جمله مواردی است که در مطالعه جامع یک مخزن هیدروکربوری الزامی است. در مخازن کربناته، رخساره الکتریکی، مفهومی جدید از گونه سنگی بر اساس پاسخ‌های لاغ می‌باشد

و لاغون نهشته شده است (شکل ۷). به نظر می‌رسد سیمانی شدن در بعضی ریزرساره‌های پشته کربناته باعث قرارگیری این ریزرساره‌ها در *EF3* شده است.

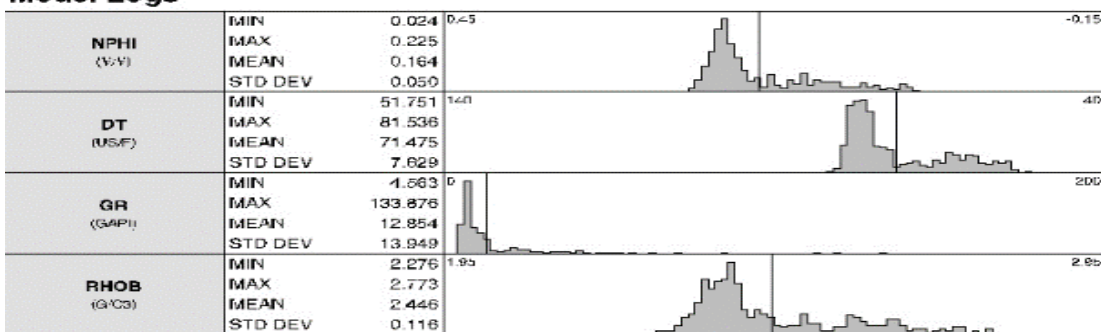
SIE-6 نیز شامل *MF21* و *MF17* می‌باشد (شکل ۶). این ریزرساره الکتریکی در چاه *SIE-5* عمدهاً در زیر محیط لاغون و پشته کربناته و در چاه *SIE-6* در رمپ میانی



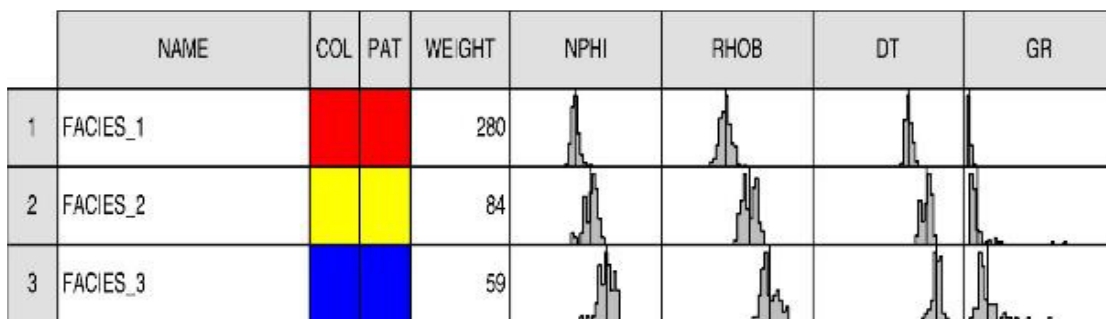
شکل ۳. تصاویر ریزرساره‌های سازند می‌شیrif برگرفته از حسینی (۱۳۹۸). الف: ریزرساره دولواستون (چاه *SIE-6* عمق ۲۹۰۵)، ب: فنسنترال لایم مادستون (چاه *SIE-3* عمق ۲۸۱۱)، ب': ریزرساره لایم مادستون (چاه *SIE-5* عمق ۲۸۴۸)، ت: فنسنترال بایوکلست وکستون/پکستون (چاه *SIE-3* عمق ۲۸۵۴، ۵ متری)، ث: ریزرساره بایوکلست (رودبیست-فرامنیفر) وکستون/پکستون (چاه *SIE-6* عمق ۲۸۷۷)، ج: ریزرساره بایوکلست (رودبیست-فرامنیفر) وکستون (چاه *SIE-5* عمق ۲۸۴۵)، ج': ریزرساره بایوکلست (فرامنیفر-جلبک) اینتراکلست پکستون (چاه *SIE-6* عمق ۲۹۱۹)، ح: ریزرساره بایوکلست (فرامنیفر) اینتراکلست وکستون (چاه *SIE-6* عمق ۲۸۸۱)، خ: ریزرساره بایوکلست (فرامنیفر) پکستون (چاه *SIE-2* عمق ۲۷۴۳)، د: ریزرساره بایوکلست (رودبیست-فرامنیفر) پلوئید وکستون با آشفتگی زیستی (چاه *SIE-6* عمق ۲۹۰۶)، د': ریزرساره بایوکلست (رودبیست) وکستون (چاه *SIE-5* عمق ۲۸۵۵)، ر: ریزرساره پلوئید بایوکلست (فرامنیفر-جلبک) وکستون/پکستون (چاه *SIE-5* عمق ۲۸۹۱)، ز: ریزرساره بایوکلست (جلبک) وکستون (چاه *SIE-2* عمق ۲۹۷۰ متری)، ز': ریزرساره اینتراکلست بایوکلست (فرامنیفر-رودبیست) گرینستون (چاه *SIE-5* عمق ۲۸۷۶)، س: ریزرساره بایوکلست (فرامنیفر) گرینستون (چاه *SIE-5* عمق ۲۸۶۳)، ش: ریزرساره پلوئید بایوکلست (فرامنیفر) گرینستون (چاه *SIE-5* عمق ۲۸۵۰)، ص: ریزرساره کوتند بایوکلست (رودبیست-فرامنیفر) گرینستون (چاه *SIE-5* عمق ۲۸۸۶)، ض: ریزرساره مادستون (چاه *SIE-5* عمق ۲۹۱۲)، ط: ریزرساره بایوکلست ریزدانه (رودبیست-فرامنیفر) وکستون (چاه *SIE-2* عمق ۲۹۶۹ متری)، ظ: ریزرساره بایوکلست (فرامنیفر) وکستون (چاه *SIE-5* عمق ۲۹۱۶)، ع: ریزرساره بایوکلست (رودبیست) پکستون (چاه *SIE-5* عمق ۲۸۹۵)، غ: ریزرساره کورال بانداستون (چاه *SIE-5* عمق ۲۸۵۳)، ف: ریزرساره کورال بانداستون (چاه *SIE-5* عمق ۲۸۶۲).

جدول ۱. مجموعه ریزرسارهای سازند میسریف در میدان نفتی اسفند به همراه معرفی کمربند رخسارهای آن‌ها (حسینی، ۱۳۹۸)

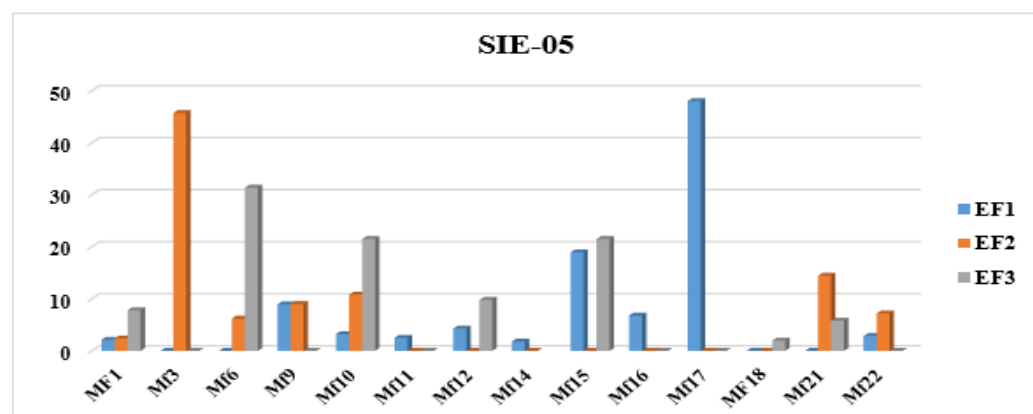
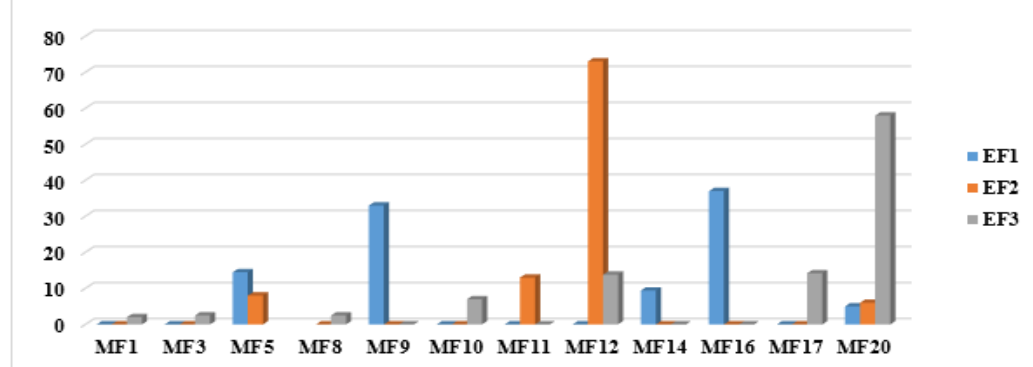
کد رخساره	نام رخساره	توضیحات	کمربند رخساره‌ای
MF1	دولواستون	بافت آهکی دارد. جایگزین میکرایت شده است و در آن باقیمانده‌های میکرایت و مقداری ناخالصی دیده می‌شود (شکل ۳-الف).	پهنه جزرومدی
MF2	مادستون آهکی فنسترال‌دار	فابریک و اندازه رسوب بسیار ریز است. این ریزرساره فاقد فسیل است و دارای تخلخل فنسترال است (شکل ۳-ب).	پهنه جزرومدی
MF3	مادستون آهکی	فابریک و اندازه رسوب بسیار ریز است. این ریزرساره فاقد فسیل است (شکل ۳-ب).	پهنه جزرومدی
MF4	وکستون/ پکستون باپوکلستی	این ریزرساره دارای قطعات رودیست، جلیک، صدف دوکله‌ای و گاهی استراکد می‌باشد (شکل ۳-ت).	پهنه جزرومدی
MF5	وکستون/ پکستون باپوکلستی	بافت این ریزرساره وکستون تا پکستون است. وجود فرامینفرهای بنتیک مانند میلیولیدا و نازتا در زمینه میکرایتی زمینه میکرایتی (شکل ۳-ث).	lagoun
MF6	وکستون باپوکلستی	بافت این ریزرساره گل پشتیبان است. الکم‌های این ریزرساره شامل میلیولیدا، نازتا، اربیتوپلینا، تکستولا ریا و خرددهای رودیست است (شکل ۳-ج).	lagoun
MF7	پکستون باپوکلستی	بافت دانه پشتیبان و الکم‌های این رخساره شامل میلیولیدا، نازتا، اربیتوپلینا، تکستولا ریا و خرددهای رودیست است (شکل ۳-ج).	lagoun
MF8	پکستون باپوکلستی اینتراکلست‌دار	زمینه این ریزرساره را گل تشکیل داده است. فرامهای مانند میلیولیدا و نازتا دارد در آن فرام بزرگ مشاهده نمی‌شود (شکل ۳-ج).	lagoun
MF9	وکستون باپوکلستی اینتراکلست‌دار	بافت وکستون می‌باشد. الکم‌های این ریزرساره شامل میلیولیدا، اینتراکلست و قطعات رودیست می‌باشد (شکل ۳-خ).	lagoun
MF10	وکستون باپوکلستی پلوئیدار همراه با آشفتگی زیستی	زمینه گل پشتیبان و وکستون است. فوئای آن محدود است و رودیست و فرام بنتیک دارد و همچین ساخت بیوتربیشن دارد (شکل ۳-د).	lagoun
MF11	وکستون باپوکلستی رودیست‌دار	این ریزرساره دارای بافت گل پشتیبان و وکستون می‌باشد. الکم‌های این ریزرساره شامل خرددهای رودیست، صدف دوکله‌ای می‌باشد. عده این الکم‌ها میکرایتی شده‌اند. (شکل ۳-ذ).	lagoun
MF12	وکستون/ پکستون باپوکلستی پلوئیدار	این ریزرساره دارای زمینه میکرایتی و بافت حد老子 وکستون تا پکستون می‌باشد. الکم‌های این ریزرساره شامل فرامهای بنتیک میلیولیدا، خرددهای جلیک سبز و پلوئید فراوان است (شکل ۳-ر).	lagoun
MF13	وکستون باپوکلستی جلیک‌دار	این ریزرساره گل پشتیبان و دارای بافت وکستون است. الکم‌های اصلی در این رخساره جلیک‌های سنتگرفسی و اجزای دیگر بروزو، صدف دوکله‌ای و تعدادی میلیولید است (شکل ۳-ز).	پشته کربناته
MF14	گرینستون باپوکلستی اینتراکلست‌دار	زمینه اسپارایتی و بافت گرینستونی می‌باشد. اجزای اصلی تشکیل‌دهنده آن که شامل اینتراکلست و خرددهای بیولکلستی (نظیر اکینوئید) و فرامینفرهای بنتیک که میکرایتی شده‌اند، است (شکل ۳-ژ).	پشته کربناته
MF15	گرینستون باپوکلستی	بافت گرینستونی و زمینه اسپارایتی می‌باشد. الکم‌ها فرامهای بنتیک که به شدت میکرایتی شده و غیر قابل تشخیص هستند. جورشگی و گردشگی الکم‌ها خوب می‌باشد (شکل ۳-س).	پشته کربناته
MF16	گرینستون باپوکلستی پلوئیدار	بافت گرینستون در زمینه‌ای اسپارایتی، پلوئید اجزای اصلی شامل فرامهای بنتیک، قطعات رودیست و پلوئید می‌باشد. جورشگی و گردشگی الکم‌ها خوب می‌باشد (شکل ۳-ش).	پشته کربناته
MF17	گرینستون باپوکلستی کورتوبییدار	این ریزرساره بافت اسپارایتی دارد و گرینستون است. آلوکم‌ها شامل قطعات رودیست و صدف دوکله‌ای و فرامهای بنتیک است که به شدت میکرایتی شده و غیر قابل تشخیص می‌باشند. جورشگی و گردشگی در آلوکم‌ها مشهود است (شکل ۳-ص).	پشته کربناته
MF18	مادستون	زمینه گلی و میزان بالای میکرایت و ریزدانه بودن به همراه نسبت ساختمانهای رسوی و حضور فرامینفرهای پلانکتونیک از خصوصیات این ریزرساره می‌باشد (شکل ۳-ض).	دریای باز
MF19	وکستون باپوکلستی ریزدانه	بافت گل پشتیبان و وکستون است. از اجزای اصلی این ریزرساره خرددهای خارپوست، خرددهای رودیست و روزن‌داران کفزی می‌باشند. وجود خردشگی در آلوکم‌ها و همچنین خرددهای ساییده شده رودیست و روزن‌بران کفزی نشانه‌هایی از حمل مواد می‌باشد (شکل ۳-ط).	دریای باز
MF20	وکستون باپوکلستی حاوی فرامینیفر پلازدیک	این ریزرساره دارای زمینه گلی و بافت وکستون است. مهمترین عناصر زیستی این فاسیس شامل بیولکلست‌های بنتیک همراه پلانکتونیک است. زمینه این فاسیس میکرایت می‌باشد (شکل ۳-ظ).	دریای باز
MF21	پکستون باپوکلستی رودیست‌دار	این ریزرساره دارای زمینه‌ای از گل و پک است و کمترین عناصر اصلی تشکیل‌دهنده آن به ترتیب فراوانی شامل خرددهای بیولکلستی رودیست و اکینوئید و به میزان کم پلوئید و فرامینفرهای غیرقابل شناسایی می‌باشد (شکل ۳-ع).	رمپ میانی
MF22	بانداستون مرجانی	این ریزرساره در مقاطع نازک به صورت اسکلت مرجانی برخواهد، فاقد شکستگی و خردشگی است. فضای خالی موجود در بدنه مرجانی عمده‌ای توسط سیمان کلستی و به ندرت توسط میکرایت پوشیده است (شکل ۳-ت).	رمپ میانی

Model Logs

شکل ۴. آزمون توزیع لگ‌های مورد استفاده برای ایجاد مدل رخساره الکتریکی



شکل ۵. رخساره‌های الکتریکی سازند می‌شیریف به روش MRGC

**SIE-06**

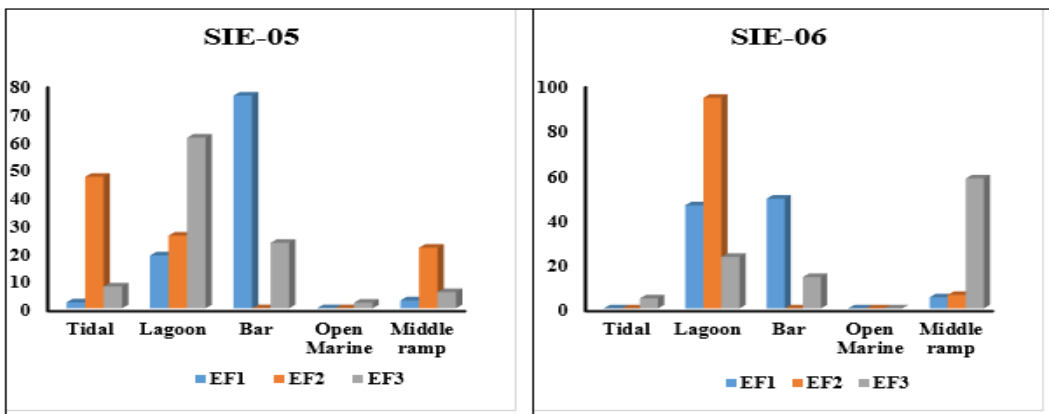
شکل ۶. فراوانی رخساره‌های الکتریکی می‌شیریف در ریز رخساره‌های به تفکیک هر چاه

و EF_2 قرار می‌گیرند اما در چاه SIE-6 مشخصه‌های مخزنی آن‌ها ضعیف شده و در EF_3 قرار می‌گیرند. ریزرساره‌های پهنه کشندی نیز در چاه SIE-5 وضعیت مخزنی بهتری دارند (شکل ۷).

در مجموع می‌توان گفت که وضعیت مخزنی رخساره‌های پشته کربناته در چاه SIE-5 بهتر است از چاه SIE-6 و اما ریزرساره‌های لاغون در در چاه SIE-6 بهتر از چاه SIE-5 می‌باشد. از طرفی ریزرساره‌های رمپ میانی در چاه SIE-5 عمدها وضعیت مخزنی خوبی دارند و در EF_1 چاه SIE-5 عمدها وضعیت مخزنی خوبی دارند و در EF_1

جدول ۲. رده‌بندی رخساره‌های الکتریکی روش MRGC از نظر مشخصه‌های مخزنی

FACIES	WEIGHT	NPHI	RHOB	DT	GR
Unit	M	V/V	G/C3	US/F	GAPI
EF 1	280	0.19	2.22	76.44	7.2
EF 2	84	0.115	2.54	63.91	18.24
EF 3	59	0.07	2.67	57.88	31.9



شکل ۷. فراوانی رخساره‌های الکتریکی مخزن می‌شیریف در کمربندهای رخساره‌ای در چاه SIE-5 و SIE-6

$$FZI = \frac{RQI}{\phi_z}$$

در روابط فوق، Q_e تخلخل موثر، K تراوایی (میلی‌دارسی)، Q_z تخلخل نرمالیزه شده و RQI شاخص کیفیت مخزنی است. کاربرد این شاخص در تعیین واحدهای جریانی ثابت شده است هرچند در مواردی در مخازن کربناته هتروژن ممکن است با خطا همراه باشد. شاخص زون جریانی (FZI) به عنوان یکی از پارامترهایی است که از ویژگی‌های زمین‌شناسی مانند بافت در تمایز رخساره‌هایی با شکل حفرات مشخص کمک می‌گیرد. در ادامه لگاریتم FZI در برابر نمونه‌ها در شکل ۸ رسم گردید و جداسازی واحدهای جریانی هیدرولیکی (HFU) با استفاده از شکست یا نقطه عطف نمودار توزیع داده‌ها مشخص گردید. بر این مبنای ۴ واحد جریانی شناسایی شده‌اند که کیفیت مخزنی آن‌ها با افزایش شاخص کیفیت مخزنی از واحد $HFU1$ به سمت $HFU4$ زیاد می‌شود (شکل ۸). ۴ واحد جریانی شناسایی شده به همراه حد برش بر پایه FZI در جدول ۳ آورده شده است

۳-۴- واحدهای جریانی

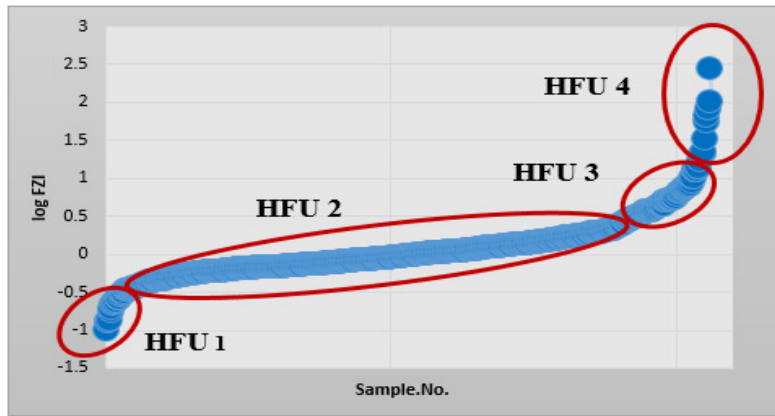
واحدهای جریانی به عنوان شاخصی از زون‌های جریانی هستند که در آن‌ها، ویژگی‌های جریان سیال با توجه به خصوصیات گلوگاه‌های منافذ یکنواخت است (کددخائی ایلخچی و همکاران، ۱۳۹۳). نمونه‌هایی که در یک واحد هیدرولیکی قرار می‌گیرند، خواص مخزنی و حفرات مشابهی دارند (الشراوی و نباوی، ۲۰۱۹). از سویی دیگر مفهوم تمایز وضعیت یک مخزن بر اساس دو پارامتر تخلخل و تراوایی است از این رو محاسبه فاکتور شاخص زون جریان (FZI) و شاخص کیفیت مخزن (RQI) کمک زیادی به ارزیابی توانمندی مخزن می‌نمایید (الشراوی و نباوی، ۲۰۱۹). در روش شاخص زون جریان با استفاده از نسبت شاخص کیفیت مخزنی به تخلخل نرمالیزه شده و از طریق روابط زیر شاخص زون جریان محاسبه می‌شود:

$$RQI = 0.0314 \sqrt{\frac{K}{\phi_z}}$$

$$\phi_z = \frac{\phi_e}{1 - \epsilon_e}$$

جدول ۳. پارامترهای مخزنی واحدهای هیدرولیکی سازند میشریف در میدان نفتی اسفند

HFU	$\log FZI$	حد برش	میانگین تراوایی (میلی‌دارسی)	میانگین تخلخل (%)	وضعیت مخزنی
1	$-0.2 > \log FZI$	0.4		9.25	ضعیف
2	$-0.2 \leq \log FZI < 0.4$	14.29		16.12	متوسط
3	$0.4 \leq \log FZI < 0.8$	27		6.16	خوب
4	$0.8 \geq \log FZI$	65		3.74	خیلی خوب

شکل ۸. تعیین واحدهای جریانی سازند میشریف با استفاده از نمودار $\log FZI$ در برابر نمونه‌ها در میدان نفتی اسفند

ریزرساره MF16 و ۱۴ درصد ریزرساره MF12 می‌باشد (شکل ۱۲). از سویی دیگر بیشترین ستبرای این واحد هیدرولیکی را ریزرساره‌های زیرمحیط پشتہ کربناته، لاغون و پهنه جزر و مدى تشکیل می‌دهد (شکل ۱۳). ریزرساره‌های پهنه کشندی این واحد مادستون می‌باشند. ریزرساره‌های لاغون نیز شامل پکستون و وکستون‌هایی است که دارای تخلخل‌های قالبی یا حفره‌ای مجزا بوده (شکل ۱۴-الف) که روی تخلخل تاثیر داشته‌اند اما بر تراوایی بی‌تأثیر بوده‌اند. ریزرساره‌های پشتہ کربناته نیز گرینستون‌هایی با تراوایی کم می‌باشند و سیمانی شدن شدید می‌باشد (شکل ۱۴-ب).

HFU2: این واحد هیدرولیکی با داشتن میانگین تخلخل ۱۶/۲ درصد و میانگین تراوایی ۱۴/۲۹ میلی‌دارسی یک واحد مخزنی در سازند میشریف می‌باشد. عمدۀ ریزرساره‌هایی که در این واحد هیدرولیکی حضور دارند به ترتیب در زیرمحیط‌های پشتۀ کربناته، لاغون و پهنه جزر و مدى نهشته شده‌اند (شکل ۱۲). این ریزرساره‌ها به ترتیب فراوانی شامل MF15 ۳۲ درصد، MF3 ۹ درصد می‌باشد (شکل ۱۳). وجود تخلخل‌های مجزا در کنار تخلخل‌های بهم مرتبط (شکل ۱۴-پ) سبب

در شکل ۹ رابطه تخلخل و شاخص RQI برای ۴ واحد هیدرولیکی شناسایی شده مشخص شده است. همان‌طور که مشاهده می‌شود رابطه RQI با تخلخل رابطه مشخص و مستقیم نیست اما در شکل ۱۰ رابطه این شاخص با تراوایی یک رابطه مستقیم است. این موضوع نشان می‌دهد که تراوایی فاکتور اصلی کنترل کننده کیفیت مخزنی بوده و در ارتباط با ویژگی‌های گلوگاه‌های تخلخل در مخزن می‌باشد (کددخایایلخچی و همکاران، ۱۳۹۳).

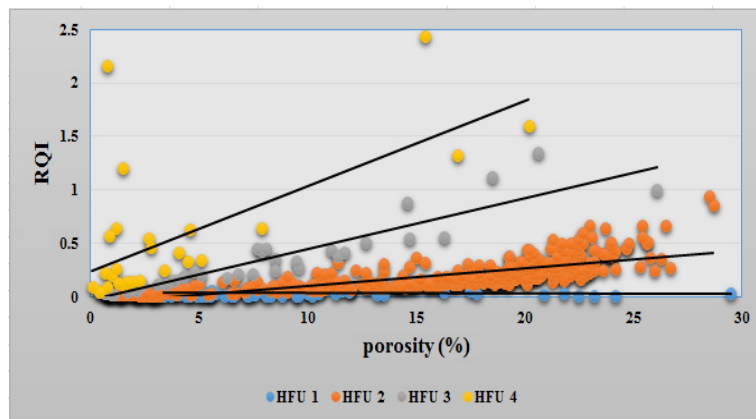
داده‌های تخلخل و تراوایی هر کدام از واحدهای جریانی نشان می‌دهد که سامانه منافذ آن واحد مشابه بوده و روند مشخصی را دارد و به وضوح با روند سایر واحدها متفاوت است (شکل ۱۱). در ادامه به بررسی این ۴ واحد هیدرولیکی خواهیم پرداخت.

HFU1: این واحد هیدرولیکی دارای کمترین شاخص زون جریان است بر اساس جدول ۳، میانگین تخلخل آن ۹/۲۵ و میانگین تراوایی آن ۰/۴ است. از آنجا که تخلخل بالای ۵ درصد و تراوایی بیش از ۱ میلی‌دارسی به عنوان نشانگر وجود پتانسیل مخزنی است (آهر، ۲۰۱۱). لذا این واحد با داشتن ماکریزم تراوایی ۶ میلی‌دارسی در مقاطعی از مخزن یک زون مخزنی یا توالی مخزنی حساب می‌شود. عمدۀ ریزرساره‌هایی که در این واحد قرار می‌گیرند شامل ۲۱ درصد ریزرساره MF3 ۱۹ درصد

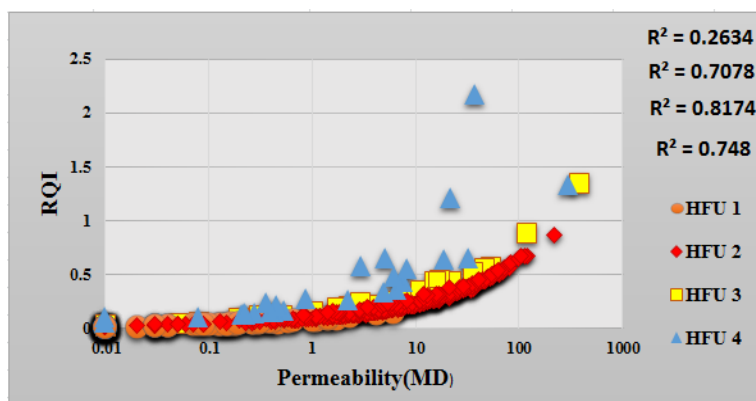
مخزنی این واحد هیدرولیکی شده‌اند هرچند در مقاطعی می‌دهند (شکل ۱۳). به نظر می‌رسد در این واحد هیدرولیکی علی‌رغم اینکه تخلخل نسبت به $HFU2$ کمتر است اما شکستگی و وجود ارتباط بین تخلخل باعث افزایش چشمگیر تراوایی و در نتیجه بهبود وضعیت مخزنی گردیده است (شکل ۱۴-ث و ۱۴-ج). این تخلخل‌های مفید در همه واحدهای مخزنی می‌شریف در ارتباط با پایین آمدن سطح آب دریا در مراتب ایجاد می‌شود (جدی‌آقایی و همکاران، ۱۳۹۶).

افزایش تخلخل و تراوایی و در نتیجه بهبود کیفیت سیمانی شدن نیز سبب کاهش تخلخل و تراوایی در این واحد شده است (شکل ۱۴-ت).

$HFU3$: واحد هیدرولیکی ۳ با داشتن میانگین تخلخل ۶/۶ درصد و تراوایی ۲۷ میلی‌دارسی ستبرای کمی از توالی مخزن می‌شریف را به خود اختصاص داده است. ریزرساره $MF15$ از پشتہ کربناته و $MF20$ از رمپ میانی فراوان‌ترین ریزرساره‌های این واحد هیدرولیکی می‌باشند (شکل ۱۲). بخش عمده‌ای از نهشته‌های این واحد را نهشته‌های پشتہ کربناته و لاغون تشکیل



شکل ۹. رابطه تخلخل با شاخص کیفیت مخزن در واحدهای هیدرولیکی سازند می‌شریف در میدان نفتی اسفند



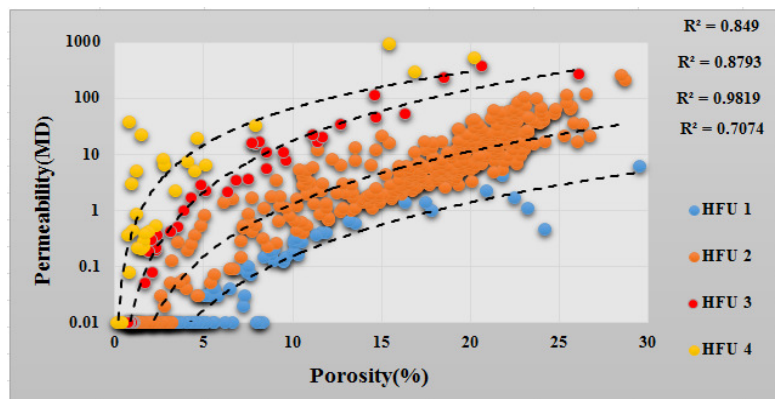
شکل ۱۰. رابطه تراوایی با شاخص کیفیت مخزن در واحدهای هیدرولیکی سازند می‌شریف در میدان نفتی اسفند

بیشترین ستبرای این واحد هیدرولیکی در زیر محیط پشتہ کربناته، لاغون و رمپ میانی نهشته شده‌اند. وجود رخساره‌های رمپ میانی در این واحد به علت وجود تخلخل‌های شکستگی می‌باشد که به خوبی در این ریزرساره‌ها مشهود است و باعث افزایش چشمگیر تراوایی شده است (شکل ۱۴-ج). به نظر می‌رسد تخلخل کم و سیمانی شدن شدید و از سویی دیگر فرآیند

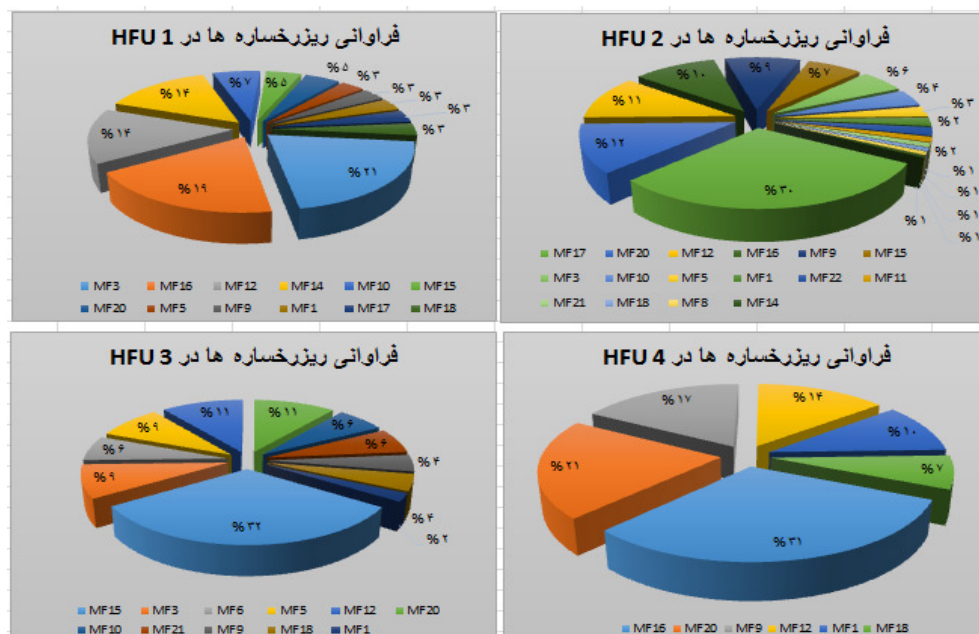
$HFU4$: این واحد بالاترین شاخص زون جریانی را دارد و ستبرای آن از بقیه واحدها کمتر می‌باشد. واحد $HFU4$ دارای تخلخل کم ۳/۷۴ درصد اما تراوایی بالای ۶۴ میلی‌دارسی می‌باشد. ریزرساره‌های این واحد به ترتیب $MF16$ از پشتہ کربناته، $MF21$ درصد از زیرمحیط رمپ میانی، $MF9$ از لاغون و $MF12$ از زیرمحیط لاغون می‌باشد (شکل ۱۲).

را بهبود بخشیده است (شکل ۱۴-ج و ۱۴-خ). آنچه در این واحد کاملاً مشهود است نقش شکستگی و دیاژنز تاخیری می‌باشد.

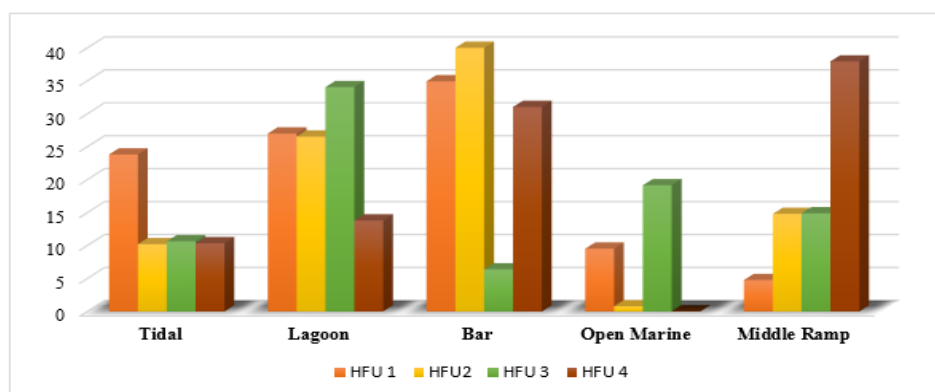
شکستگی، دولومیتی شدن و حتی گاهی استیلوپلیتی شدن باعث ایجاد یک معبر برای عبور سیالات هیدرولیکی شده و تراوایی را افزایش و کیفیت مخزن



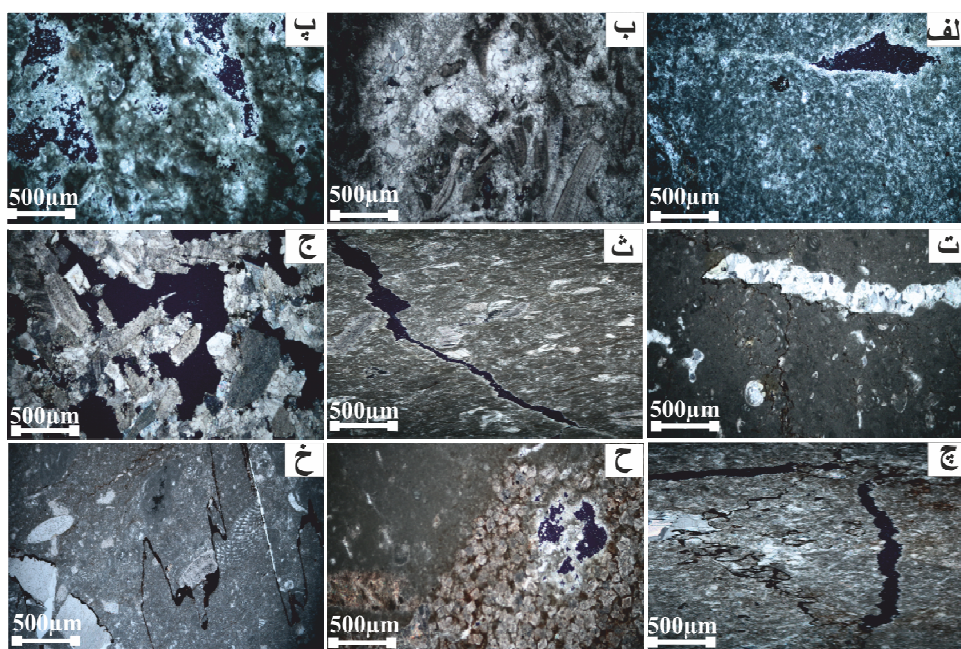
شکل ۱۱. توزیع واحدهای جریانی تفکیک شده بر روی نمودار تخلخل-تراوایی



شکل ۱۲. پراکندگی ریزرساره‌های رسوبی در واحدهای هیدرولیکی مخزن میسریف



شکل ۱۳. پراکندگی واحدهای هیدرولیکی در زیرمحیط‌های رسوبی مخزن میسریف



شکل ۱۴. الف: تخلخل حفره‌ای غیر مرتبط در $HFU2$. ب: سیمانی شدن در $HFU1$. پ: نخلخل حفره‌ای و گاه بین‌دانه‌ای در $HFU2$. ت: پرشدن شکستگی و از بین رفتن تخلخل آن در $HFU2$. ث: شکستگی و ایجاد تخلخل در $HFU3$. ج: تخلخل بین‌دانه‌ای و حفره‌ای مرتبط در $HFU4$. ح: تخلخل شکستگی در کنار استیلولیت در $HFU4$. ح: دلوامیتی شدن در $HFU4$. خ: استیلولیت و آثار هیدروکربن در آن در $HFU4$

بر اساس این کلاس‌بندی، سازند می‌شیريف را در دو چاه $SIE-5$ و $SIE-6$ مورد ارزیابی و مقایسه قرار گرفت و نتایج آن در جدول ۵ ارائه گردید. مخزن می‌شیريف در چاه $SIE-5$ بر اساس شاخص RQI بین رتبه ۰ تا ۴ متغیر است و میانگین آن نیز در رتبه ۱ قرار می‌گیرد. بر مبنای شاخص FZI نیز این مخزن بین ۰ تا ۴ و میانگین ۱ متغیر می‌باشد. شاخص RPI مخزن در این چاه نیز متغیر و مخزن را به قسمت‌های ناتراوا تا عالی تقسیم می‌کند هر چند میانگین شاخص RPI این چاه حدود ۲ و در رتبه متوسط قرار می‌گیرد. مخزن می‌شیريف در این چاه بر مبنای رتبه‌بندی جدول ۴ دارای تخلخل خوب و تراوایی ضعیف می‌باشد. هرچند در بازه‌های عمقی از مخزن تخلخل عالی و تراوایی خوب می‌باشد. در چاه $SIE-6$ مخزن می‌شیريف به لحاظ شاخص RQI رتبه بین ۰ و ۲ و میانگین ۱ را دارد و بر مبنای شاخص FZI دارای رتبه ۱ تا ۵ متغیر و میانگین ۱ می‌باشد. در این چاه نیز شاخص RPI مخزن بین ناتراوا تا عالی متغیر است اما میانگین RPI مخزن در رده ضعیف قرار می‌گیرد. مخزن می‌شیريف در چاه $SIE-6$ نیز دارای میانگین تخلخل متوسط و تراوایی ضعیف می‌باشد. در شکل ۱۵ تراوایی هر چاه در

۴-۴- توان مخزنی

به منظور ارزیابی کیفیت مخزنی و بر مبنای دو شاخص زون جریان FZI و شاخص کیفیت مخزن RQI کلاس‌بندی جدیدی برای بررسی توان مخزنی مخازن نفتی توسط نباوی و ال- ازازی (۲۰۱۵) و نباوی و همکاران (۲۰۱۸) ارائه شده است. این محققان شاخص توان مخزنی^۱ را معرفی کردند که از رابطه زیر به دست می‌آورد و توان مخزنی را در قالب ۵ رده توصیفی تقسیم کردند:

$$RPI = \frac{RQI + FZI}{2}$$

شاخص RPI مفهوم نعیین وضعیت یک مخزن بر اساس دو پارامتر تخلخل و تراوایی است (الشراوی و نباوی، ۲۰۱۹). این شاخص از ناهمانگی بین رتبه‌های مطرح شده برای RQI و FZI جلوگیری می‌کند، از این رو پلات RQI و FZI کمک زیادی به تعیین وضعیت مخزنی می‌کند. رتبه‌بندی توانمندی مخزن و کلاس‌های آن بر مبنای تخلخل، تراوایی، RQI و FZI و RPI توسط نباوی و ال- ازازی (۲۰۱۵) در جدول ۴ ارائه شده است.

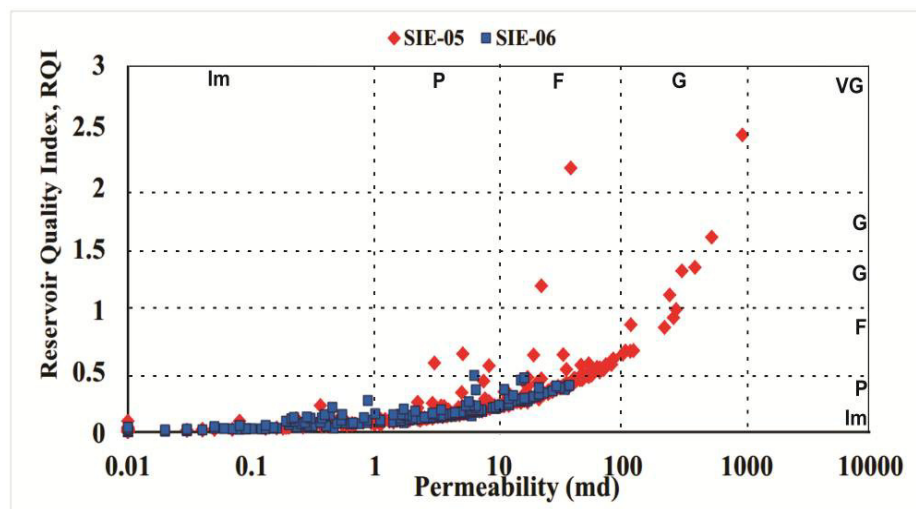
^۱ Reservoir Potentiability Index

مخزنی بهتر نسبت به چاه SIE-6 دارد که این مهم می‌تواند به علت وجود دولومیت در رخسارهای آن می‌باشد. کمربند رخسارهای لاغون در هر دو چاه تقریباً روند مشابه و وضعیت مخزنی نزدیک به هم دارند. کمربند رخسارهای پشته کربناته و رمپ میانی نیز در چاه SIE-5 بیشتر از چاه SIE-6 بوده و سبب ایجاد تخلخل‌های بهم مرتبط و افزایش پارامترهای مخزنی شده و از سویی دیگر سیمانی شدن در این کمربندها در چاه SIE-6 شدیدتر بوده و تاثیر منفی بر پارامترهای مخزنی داشته است. این تفاوت در کیفیت مخزنی با وجود مشابه بودن کمربندهای رخسارهای نشان از تاثیر توان، فرآیندهای دیاژنزی و رسوبی بر وضعیت مخزنی سازند می‌شیریف دارد.

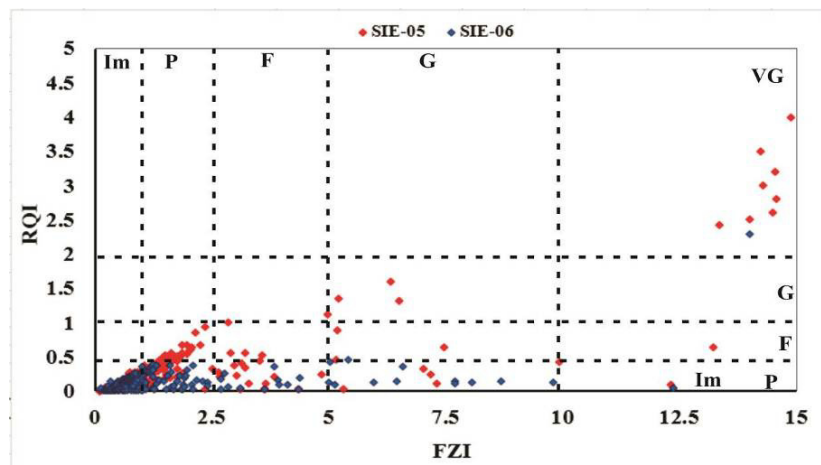
برابر شاخص RQI پلات شده است و همانطور که مشخص است شرایط مخزنی بسیار متغیر است هر چند در مجموع سازند می‌شیریف در چاه SIE-5 توان مخزنی بالاتری دارد. در شکل ۱۶ شاخص RQI در برابر شاخص FZI پلات شده و مشخص شده است که مخزن می‌شیریف در هر دو چاه در زون‌های متوسط و ضعیف قرار دارد هرچند نمونه‌های خیلی خوب و خوب نیز مشاهده می‌شود که نشان از شرایط پیچیده مخزنی این سازند کربناته دارد. بنابراین با مقایسه جدول‌های ۴ و ۵ مخزن به بخش‌های مختلفی از ناتراوا تا خوب تفکیک می‌شود. به منظور بررسی بهتر وضعیت مخزنی کلاس‌بندی بر مبنای تخلخل، تراوایی، شاخص کیفیت مخزن، شاخص زون جریان و توان مخزنی برای هر کمربند رخسارهای محاسبه و در جدول ۶ ارائه شده است. نتایج نشان می‌دهد که پهنه جزر و مدي در چاه SIE-5 وضعیت

جدول ۴. کلاس‌بندی توان مخزنی استاندارد (نباوی و ال- ازازی، ۲۰۱۵؛ نباوی و همکاران، ۲۰۱۸)

تخلخل	رتبه	تراوایی	رتبه	RQI	رتبه	FZI	رتبه	RPI	رتبه
$0 < \phi \leq 5$	0	$0.01 < K \leq 1$	0	$0 < RQI \leq 0.25$	0	$0 < FZI \leq 1$	0	ناتراوا	0
$5 < \phi \leq 10$	1	$1 < K \leq 10$	1	$0.25 < RQI \leq 0.5$	1	$1 < FZI \leq 2.5$	1	ضعیف	1
$10 < \phi \leq 15$	2	$10 < K \leq 100$	2	$0.5 < RQI \leq 1$	2	$2.5 < FZI \leq 5$	2	متوسط	2
$15 < \phi \leq 20$	3	$100 < K \leq 1000$	3	$1 < RQI \leq 2$	3	$5 < FZI \leq 10$	3	خوب	3
$20 < \phi \leq 25$	4	$1000 < K \leq 10000$	4	$2 < RQI \leq 5$	4	$10 < FZI \leq 15$	4	خیلی خوب	4
$25 \leq \phi$	5	$10000 < K$	5	$5 < RQI$	5	$15 < FZI$	5	عالی	5



شکل ۱۵. نمودار تراوایی- شاخص کیفیت مخزن، سازند می‌شیریف در چاه SIE-5 و SIE-6 بر مبنای کلاس‌بندی (نباوی و ال- ازازی، ۲۰۱۵؛ نباوی و همکاران، ۲۰۱۸) (Im: ناتراوا، P: ضعیف، F: متوسط، G: خوب، VG: خیلی خوب، EX: عالی)



شکل ۱۶. نمودار $FZI-RQI$ سازند میشریف در چاه ۵ و SIE_5 و SIE_6 بر مبنای کلاس‌بندی (نباوی و ال-ازایی، ۲۰۱۵؛ نباوی و همکاران، ۲۰۱۸) (ناتراوا، P : ضعیف، F : متوسط، G : خوب، VG : خیلی خوب، EX : عالی)

جدول ۵. کلاس‌بندی توان مخزنی سازند میشریف در دو چاه ۵ و SIE_5 و SIE_6 بر مبنای کلاس‌بندی (نباوی و ال-ازایی، ۲۰۱۵؛ نباوی و همکاران، ۲۰۱۸)

WELL		RQI	FZI	RQI _{RANK}	FZI _{RANK}	RPI _{RANK}	φ	(RANK) φ	K	K _{RANK}
<i>SIE-5</i>	کمینه	•	۰/۱	•	•	(ناتراوا) ۰/۰۵	۰/۱	•	۰/۰۱	•
	میانگین	۰/۴۷	۱/۹	۱	۱	(متوسط) ۱/۸	۱۵/۵	۳	۲۵/۵۶	۲
	بیشینه	۲/۴۳	۱۵	۴	۴	(عالی) ۹	۲۸/۷	۵	۹۲۵	۳
<i>SIE-6</i>	کمینه	۰/۰۱۱	۱/۶۳	•	۱	(ناتراوا) ۰/۰۷	۰/۴	•	۰/۰۱	•
	میانگین	۰/۴۳	۱/۱	۱	۱	(ضعیف) ۱/۲	۱۱/۲۶	۲	۴/۵۷	۱
	بیشینه	۱	۲۲	۲	۵	(عالی) ۱۱	۲۹/۵	۵	۳۷	۲

جدول ۶. میانگین پارامترهای مخزنی کمربندهای رخسارهای در چاه ۵ و SIE_5 و SIE_6 .

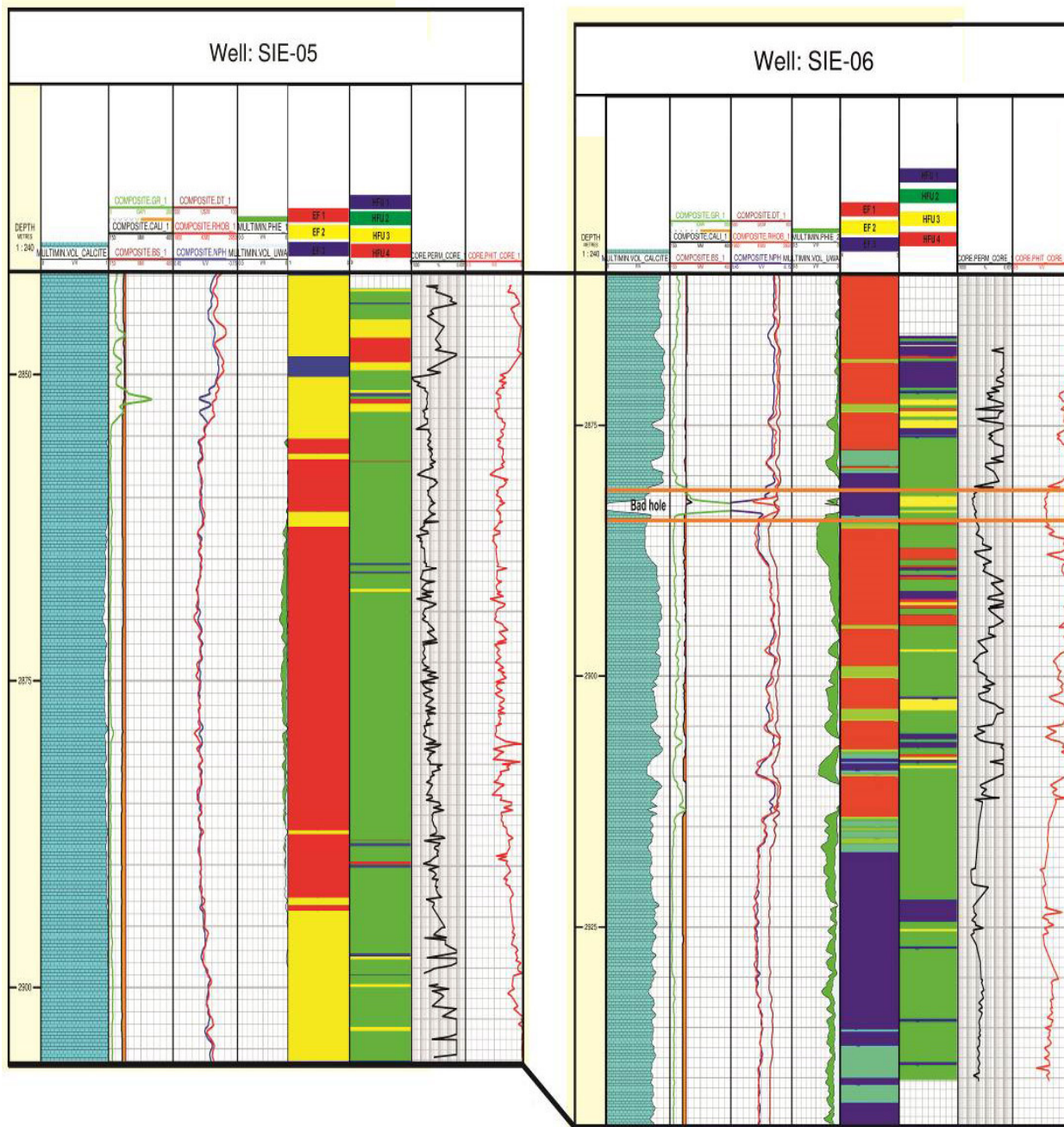
کمربند رخسارهای	چاه	تخلخل	تروابی	RQI	FZI
پهنه کشنندی	<i>SIE-5</i>	۹/۴	۱۰/۴	۰/۲۳	۴/۹۴
	<i>SIE-6</i>	۱/۶	۰/۰۴۸	۰/۰۴	۳/۰۲
lagون	<i>SIE-5</i>	۱۴/۳۵	۱۶/۱۴	۰/۲۵	۳/۱۶
	<i>SIE-6</i>	۱۰/۲۵	۴/۷	۰/۱۴	۲/۰۶
پشتہ کربناته	<i>SIE-5</i>	۲۰	۲۷	۰/۳۱	۶/۵
	<i>SIE-6</i>	۹	۴/۸	۰/۱۱	۱/۳
دریای باز	<i>SIE-5</i>	۲/۸	۰/۷	۰/۱	۱
	<i>SIE-6</i>	-	-	-	-
رمپ میانی	<i>SIE-5</i>	۱۸/۲	۱۲۴	۰/۵۶	۶
	<i>SIE-6</i>	۱۶/۷	۴/۲۳	۰/۱۵	۳/۰۱

لاگ‌های پتروفیزیکی انجام شود. تصحیحات محیطی بر روی لاگ گاما از نظر چگالی و قطر چاه با کمک چارت *GR-I* (شلمبرزر، ۲۰۰۰) انجام گرفت هم‌چنین بر روی لاگ چگالی با استفاده از چارت *Por-15a* (شلمبرزر، ۲۰۰۰) انجام گرفت. اکثر تصحیحات مربوط به *SNP* شامل شوری سازند و گل، چگالی گل، قطر چاه و دما، به صورت خودکار انجام می‌شوند. با این حال تصحیح سله گل با استفاده از چارت *Por-15a* صورت گرفت.

در انتها به منظور ارائه دید کلی نسبت به روند قائم و افقی تغییرات رخسارهای الکتریکی، واحدهای جریانی و زون‌های مخزنی سازند میشریف توالی دو چاه رسم و تطبیق داده شد (شکل ۱۷). وجود چند عامل باعث پیچیدگی ارتباط لاگ و پارامترهای پتروفیزیکی می‌شود که از آن جمله می‌توان به عوامل زمین‌شناسی، عوامل محیطی و عوامل ناشی از ابزار لاگ اشاره کرد از این‌رو قبل از مدل‌سازی تصحیحات محیطی باید بر روی

مجموع واحدهای جریانی و رخساره‌های الکتریکی تطابق قابل قبولی نشان می‌دهند هر چند تاثیر متفاوت فرآیندهای دیاژنزی اثرات پیچیده‌ای روی رخساره‌های رسوبی و پارامترهای مخزنی آن‌ها گذاشته و باعث شده است که رخساره‌های الکتریکی در کنار واحدهای جریانی از توانایی تفکیک بیش‌تری در تشخیص زون‌های مخزنی برخوردار باشند.

پارامترهای عدم قطعیت لاغ (*Uncertainty lag*) و مشخصات پتروفیزیکی مدل نیز در جدول ۷ ارائه شده است. نتایج نشان می‌دهد که تقریباً رخساره الکتریکی معادل واحد جریانی *HFU3* و *HFU2* با *EF1* معادل واحد جریانی *HFU1* معادل است. هم‌چنین بررسی جانبی رخساره‌های الکتریکی و واحدهای جریانی نشان می‌دهد که وضعیت مخزنی *SIE-5* نسبت به چاه *SIE-6* بهتر می‌باشد. در



شکل ۱۷. توزیع واحدهای جریانی و رخساره‌های الکتریکی در توالی مخزن میسریف در دو چاه میدان نفتی اسفند

جدول ۷. شاخص‌های عدم قطعیت و ویژگی‌های پتروفیزیکی مدل

لاغ	واحد	عدم قطعیت	روش
RHO COR	G/C3	0.0264	LINERA
TNPH COR	V/V	0.014	LINERA MATRIX
DT	US/F	1.951	WYLLIE LINEAR
GR COR	GAPI	6	LINERA
CT	MH/M	0.07755	INDONESIA NONLINERA
CXO	MH/M	0.1492	INDONESIA NONLINERA

شده برای کمربندهای رخساره‌ای نتایج واحدهای جریانی و رخساره‌های الکتریکی را تایید می‌کند. به نظر می‌رسد در مخزن سروک واحدهای جریانی و رخساره‌های الکتریکی تطابق قابل قبولی نشان می‌دهند هر چند تاثیر متفاوت فرآیندهای دیاژنزی اثرات پیچیده‌ای روی رخساره‌های رسوبی و پارامترهای مخزنی آن‌ها گذاشته و باعث شده است که رخساره‌های الکتریکی در مقایسه با واحدهای جریانی از توانایی تفکیک کمتری در تشخیص زون‌های مخزنی برخوردار باشند و واحدهای جریانی قدرت تفکیک دقیق‌تر و بهتری را از خود نشان می‌دهند.

تشکر و قدردانی

نویسندگان این مقاله بر خود لازم می‌دانند از اداره پژوهش شرکت نفت فلات قاره به واسطه حمایت‌های مادی و معنوی تشکر و قدردانی به عمل آورند.

منابع

اسعدی، ع.، هنرمند، ج.، معلمی، ع.، و عبدالله‌فرد، ا. (۱۳۹۵) تعیین واحدهای جریانی در بخش مخزنی سازند سروک، مطالعه موردی در یکی از میدان‌های هیدروکربنی جنوب غرب ایران. مجله پژوهش نفت، شماره ۹۱، سال بیست و ششم، ص ۸۲-۶۶

اقبال کیانی، ا.، گلی، ط.، جلیلیان، ع.، ح.، و کدخایی، ر. (۱۳۹۵) تجزیه و تحلیل رخساره‌های الکتریکی سازند سروک (کرتاسه میانی) با روش MRGC و مطابقت با ریزرخساره‌های رسوبی در یکی از میدان‌های جنوب‌غربی ایران، مجله زمین‌شناسی نفت ایران، شماره ۱۱، سال ششم، ص ۱-۲۱.

جدیری‌آقایی، ر.، رحیم‌پوریناب، ح.، توکلی، و.، کدخایی ایلچی، ر.، و یوسف‌پور، م. (۱۳۹۶) بررسی واحدهای جریانی و رخساره‌های الکتریکی در سازند میسریف (بخش بالایی سازند سروک) و برآورد سنتراز زون مخزنی در میدان نفتی سیری (خلیج فارس)، مجله رسوب‌شناسی کاربری، دوره ۵، شماره ۹، ص ۸۶-۹۸.

نتیجه‌گیری

سازند میسریف (کرتاسه میانی) یکی از مهم‌ترین مخازن میدان نفتی سیری E می‌باشد. در این پژوهش با استفاده از لاغ‌های NPHI, DT, RHOB و GR به روش خوشه‌بندی MRGC رخساره‌های الکتریکی مخزن مشخص گردید. رخساره EF1 بهترین رخساره الکتریکی است و عمدها توالی بالا و میانه میسریف را شامل می‌شود و رخساره EF3 ضعیفترین رخساره الکتریکی بخش انتهایی توالی میسریف را شامل می‌شود. مقایسه ریزرخساره‌های رسوبی و رخساره‌های الکتریکی نشان داد که عمده نهشته‌های EF1 متعلق به زیرمحیط پشته کربناته و عمده نهشته‌های EF3 متعلق به زیرمحیط لagon و دریای باز می‌باشند. بر مبنای داده‌های تخلخل و تراوایی شاخص زون جریان محاسبه گردید و با کمک logFZI ۴ واحد جریانی در مخزن میسریف مشخص گردید. واحد HFU1 ضعیفترین وضعیت مخزنی و عمدها در زیرمحیط پشته کربناته، لagon و پنهان جزرومدمی نهشته شده و واحد HFU4 که دارای بهترین وضعیت مخزنی است در زیرمحیط‌های لagon، پشته کربناته و رمپ میانی نهشته شده است. همچنین رخساره الکتریکی EF1 معادل واحد جریانی HFU2 و HFU3 EF3 نیز با HFU1 معادل است و از سوبی دیگر واحد جریانی HFU4 که دارای بهترین وضعیت مخزنی است معادل رخساره الکتریکی EF2 و EF1 می‌باشد. بررسی جانبی رخساره‌های الکتریکی و واحدهای جریانی نشان SIE-6 می‌دهد که وضعیت مخزنی SIE-5 نسبت به چاه SIE-6 بهتر می‌باشد در یک برش قائم نیز قسمت ابتدایی و میانه توالی نسبت به قسمت‌های انتهایی مخزن از وضعیت مخزنی بهتری برخوردار می‌باشند. مطالعه توان مخزنی سازند میسریف بر مبنای شاخص RPI نیز نشان از وضعیت پیچیده مخزنی سازند داشت هر چند به طور میانگین این مخزن در دو چاه مورد مطالعه در کلاس متوسط و ضعیف قرار گرفت. شاخص‌های مخزنی محاسبه

- units-theory and applications. SPE Formation Evaluation, 11(4): 263-271.*
- Abed, A. A (2014) *Hydraulic flow units and permeability prediction in a carbonate reservoir, Southern Iraq from well log data using non-parametric correlation. International Journal of Enhanced Research in Science Technology & Engineering, 3(1): 480-486.*
- Ahr, W, M (2011) *Geology of carbonate reservoirs: the identification, description and characterization of hydrocarbon reservoirs in carbonate rocks, John Wiley and Sons, 296p.*
- Al-Dhafeeri, A. M., Nasr-El-Din, H. A (2007) *Characteristics of high-permeability zones using core analysis, and production logging data. Journal of Petroleum Science and Engineering, 55(1-2): 18-36.*
- Alsharhan, A. S., Kendall, C.G. St. C (1991) *Cretaceous chronostratigraphy, unconformities and eustatic sea level changes in the sediments of Abu Dhabi, United Arab Emirates. Cretaceous Research, 12(4): 379-401.*
- Bagheri, M., Riahi, M. A., Hashemi, H (2013) *Reservoir lithofacies analysis using 3D seismic in dissimilarity space. Journal of Geophysics and Engineering, 10(3): 9pp.*
- Bagheri, M., Riahi, M. A (2015) *Seismic facies analysis from well logs based on supervised classification scheme with different machine learning techniques. Arabian Journal of Geosciences, 8(9): 7153-7161.*
- Bagheri, M., Rezaei, H (2019) *Reservoir rock permeability prediction using SVR based on radial basis function kernel. Carbonates and Evaporites, 34(3): 699-707.*
- Beiranvand, B., Ahmadi, A., Sharafodin, M (2007) *Mapping and classifying flow units in the upper part of the Mid-Cretaceous Sarvak Formation (Western Dezful embayment, Southwest Iran), based on a determination of reservoir Rock Type. Journal of Petroleum Geology, 30(4): 357-373.*
- Belhoucet, H. E., Benzagouta, M. E (2019) *Rock Typing: Reservoir Permeability Calculation Using Discrete Rock Typing Methods (DRT): Case Study from the Algerian BH Oil Field Reservoir. Advances in Petroleum Engineering and Petroleum Geochemistry, Springer, Cham, 9-12 pp.*
- Corbett, P. W. M., Potter, D. K (2004) *Petrotyping: A base map and atlas for navigating through permeability and porosity data for reservoir comparison and permeability prediction. In International Symposium of the Society of Core Analysts, 5(9): 1-12.*
- جمشیدی، م.، گلی، ط.، جلیلیان، ع. ح.، ارزانی، ن.، و ارشد، ع (۱۳۹۵) بررسی رخسارهای رسوبی و الکتریکی مخزن بنگستان با بهره‌گیری از روش MRGC در میدان نفتی قلعه‌نار، جنوب‌باختری ایران، مجله رسوب‌شناسی کاربردی، دوره ۴، شماره ۸، ص ۴۲-۵۵.
- جویباری، ا.، رضائی، پ (۱۳۹۶) شناسایی و تفسیر رخسارهای الکتریکی با استفاده از آنالیز خوشای و مقایسه آن با داده‌های پتروگرافی برای ارزیابی کیفیت مخزنی سازند سروک در یکی از میدانین جنوب‌غرب ایران. سومین همایش انجمن رسوب‌شناسی ایران، مدیریت اکتشاف شرکت ملی نفت ایران.
- حسینی، ک (۱۳۹۸) ارزیابی کیفیت مخزنی سازند می‌شیریف با استفاده از داده‌های گل‌نگاری و انطباق آن با داده‌های ژئوشیمی، پتروگرافی و پتروفیزیک در میدان نفتی اسفند، خلیج‌فارس. پایان‌نامه کارشناسی ارشد، دانشگاه هرمزگان، ۲۰۳ ص.
- حسینی، ک، رضائی، پ، کاظم شیرودی، س، و معینی، م (۱۳۹۸) بررسی ارتباط ریز رخسارهای، محیط‌رسوبی، دیاژنز و کیفیت مخزنی سازند می‌شیریف (سنومانین آغازین-تورونین) در میدان نفتی اسفند (سیری)، شمال خاوری خلیج‌فارس. مجله پژوهش‌های چینه‌نگاری و رسوب‌شناسی، شماره ۲، سال سی و پنجم، ص ۱۳۴-۱۰۹.
- سلیمانی، ب، مرادی، م، غبیشاوی، ع (۱۳۹۵) بررسی کیفیت مخزن بنگستان با استفاده از رخسارهای الکتریکی و واحدهای جریانی در میدان منصوری، جنوب‌غرب ایران، نشریه زمین‌شناسی کاربردی پیشرفت، شماره ۴، سال ششم، ص ۲۲-۳۴.
- گزارش شرکت نفت فلات قاره (۲۰۰۷) گزارش مربوط به برداشت داده‌های دو بعدی لرزه‌ای در خلیج‌فارس.
- کدخدائی‌ایلخچی، ر، رضائی، م. ر، موسوی‌حرمی، ر، کدخدائی‌ایلخچی، ع (۱۳۹۳) بررسی رخسارهای الکتریکی مخزنی در قالب واحدهای جریانی هیدرولیکی در میدان ویچررنج مربوط به حوضه پرت واقع در استرالیای غربی. مجله پژوهش‌های چینه‌نگاری و رسوب‌شناسی، شماره ۱، سال سی‌ام، ص ۱-۲۲.
- محسنی‌پور، ا، ابهرک‌پور، ا، نیکخواه، ق، سلیمانی، ب (۱۳۹۵) تجزیه و تحلیل گونه‌های سنگی الکتریکی مخزن بنگستان (کرتاسه) در میدان نفتی مارون (خاور اهواز). مجله زمین‌شناسی نفت ایران، شماره ۱۲، سال ششم، ص ۴۵-۵۹.
- Abbaszadeh, M., Fujii, H., Fujimoto, F (1996) *Permeability prediction by hydraulic flow*

- SIGMIS Database: the DATABASE for Advances in Information Systems*, 32(3): 86-112.
- Nabawy, B. S., Kassab, M. A (2014) Porosity-reducing and porosity-enhancing diagenetic factors for some carbonate microfacies: a guide for petrophysical facies discrimination. *Arabian Journal of Geosciences*, 7(11): 4523-4539.
- Nabawy, B. S., Al-Azazi, N. A. S. A (2015) Reservoir zonation and discrimination using the routine core analyses data: the Upper Jurassic Sab'atayn sandstones as a case study, Sab'atayn basin, Yemen. *Arabian Journal of Geosciences*, 8(8): 5511-5530.
- Nabawy, B. S., Barakat, M. K. h (2017) Formation Evaluation using conventional and special core analyses: Belayim Formation as a case study, Gulf of Suez, Egypt. *Arabian Journal of Geosciences*, 10(25): 1-23.
- Nabawy, B. S., Basal, A. M. K., Sarhan, M. A., Safa, M. G (2018) Reservoir zonation, rock typing and compartmentalization of the Tortonian-Serravallian sequence, Temsah Gas Field, offshore Nile Delta, Egypt. *Marine and Petroleum Geology*, 92: 609-631.
- Omidvar, M., Mehrabi, H., Sajjadi, F (2014) Depositional Environment and Biostratigraphy of the Upper Sarvak Formation in Ahwaz Oilfield (Well No. 63). *Sedimentary Facies*, 7(2): 158-177.
- Perez, H. H., Datta-gupta, A., Mishra, S (2005) The role of electrofacies, lithofacies and hydraulic flow units in permeability prediction from well logs: A comparative analysis using classification trees. *SPE Reservoir Evaluation & Engineering*, 8: 143-155.
- Rabbani, A. R (2007) Petroleum Geochemistry, Offshore SE Iran. *Geochemistry International*, 45: 1164-1172.
- Rebelle, M., Umbhauer, F., Poli, E (2009) Pore to Grid Carbonate Rock-Typing. *International Petroleum Technology Conference, International Petroleum Technology Conference*.
- Riazi, Z (2018) Application of integrated rock typing and flow units identification methods for an Iranian carbonate reservoir. *Journal of petroleum science and engineering*, 160: 483-497.
- Serra, O (1988), Fundamentals of well-log interpretation: the acquisition of logging data, Chapter 1, Elsevier, Amsterdam: 1-24p.
- Shahverdi, N., Rahimpour-Bonab, H., Kamali, M (2015) Sedimentary Environment, Diagenesis, and Reservoir Quality of Sarvak Formation (Upper Part) in Siri (E) Oilfields. *Journal of Petroleum Research*, 25(84): 99-114.
- Shahverdi, N., Rahimpour-Bonab, H., Kamali, M., Esrafil-Dizagi, B (2016) Sedimentary Davis, J, C (2018) Electrofacies in reservoir characterization, In *Handbook of Mathematical Geosciences*. Springer, Cham: 211-223.
- Doveton, J, H (2014), *Principles of mathematical petrophysics*, Oxford University Press, 169p.
- El Sharawy, M. S., Nabawy, B. S (2016a) Geological and petrophysical characterization of the lower Senonian Matulla formation in Southern and Central Gulf of Suez, Egypt. *Arabian Journal for Science and Engineering*, 41(1): 281-300.
- El Sharawy, M. S., Nabawy, B. S (2016b) Determination of electrofacies using wireline logs based on multivariate statistical analysis for the Kareem Formation, Gulf of Suez, Egypt. *Environmental Earth Sciences*, 75(21): 1394.
- El Sharawy, M. S., Nabawy, B. S (2019) Integration of electrofacies and hydraulic flow units to delineate reservoir quality in uncored reservoirs: A case study, Nubia Sandstone Reservoir, Gulf of Suez, Egypt. *Natural Resources Research*, 28(4): 1587-1608.
- Farzadi, P (2006a) The development of Middle Cretaceous carbonate platforms, Persian Gulf, Iran: Constraints from seismic stratigraphy, well and biostratigraphy. *Petroleum Geoscience*, 12(1): 59-68.
- Ghazban, F (2007), *Petroleum Geology of the Persian Gulf*, Joint publication, 707p.
- Guo, G., Diaz, M. A., Paz, F. J., Smalley, J., Waninger, E. A (2007) Rock typing as an effective tool for permeability and water-saturation modeling: A case study in a clastic reservoir in the Oriente basin. *Society of Petroleum Engineers Reservoir Evaluation & Engineering*, 10(6): 730-739.
- Holland, J. H (2006) Studying complex adaptive systems. *Journal of systems science and complexity*, 19(1): 1-8.
- Hollis, C., Vahrenkamp, V., Tull, S., Mookerjee, A., Taberner, C., Huang, Y (2010) Pore system characterization in heterogeneous carbonates: an alternative approach to widely-used rock-typing methodologies. *Marine Petroleum Geology*, 17(3): 272-293.
- Khanjani, M., Moussavi-Harami, S., Rahimpour-Bonab, H., Kamali, M (2015) Sedimentary Environment, Diagenesis and Sequence Stratigraphy of Upper Sarvak Formation (Mishrif Equivalent) in Siri Oil Fields. *Journal of Geoscience*, 24(94): 263-274.
- Lee, S. H., Kharghoria, A., Datta-Gupta, A (2002) Electrofacies Characterization and Permeability Predictions in Complex Reservoirs. *SPE Reservoir Evaluation & Engineering*, 5(3): 237-248.
- Mathieson, K., Peacock, E., Chin, W. W (2001) Extending the technology acceptance model: the influence of perceived user resources. *ACM*

- environment, diagenesis and reservoir quality of Upper Sarvak Formation in the Persian Gulf. Journal of Geoscience, 25(98): 55-66.*
- Sharland, P. R., Archer, R., Casey, D. M., Davies, R. B., Hall, S. H., Heward, A. P., Horbury A. D., Simmons, M. D (2001) Arabian plate sequence stratigraphy. Geo-Arabia Special Publication, 2: 371.*
- Schlumberger (2000), Charts, Log Interpretation. Schlumberger Oilfield Communications.*
- Soleimani, B., Moradi, M., Ghabeishavi, A (2018) stoneley wave predicted permeability and electrofacies correlation in the bangestan reservoir, Mansouri oilfield, SW Iran, Geofísica internacional, 57(2): 107-120.*
- Stinco, L. P (2006) Core and log data integration; the key for determining electrofacies. SPWLA 47th annual logging symposium. Society of Petrophysicists and Well-Log Analysts.*
- Teh, W. J., Willhite, G. P., Doveton, J. H (2012) Improved reservoir characterization using petrophysical classifiers within electrofacies, SPE Improved Oil Recovery Symposium. Society of Petroleum Engineers.*
- Tiab, D., and Donaldson, E. C (1996) Petrophysics: Theory and Practice of Measuring Reservoir Rock and Fluid Transport Properties, Gulf professional publishing.*
- Villmann, T., Merenyi, E., Hammer, B (2003) Neural maps in remote sensing image analysis: Neural Networks, 16: 389-403.*